

**PROBLEMAS DE AUTOVALORES E
CONDIÇÕES DE CONTORNO**

FÍSICA COMPUTACIONAL

Existe uma classe de problemas em física que requer a resolução de EDO utilizando valores conhecidos das grandezas físicas e suas derivadas no contorno de uma região específica.



Um problema de contorno típico em física é usualmente representado como uma equação diferencial de segunda ordem:

$$\frac{d^2 y}{dx^2} = f\left(y, \frac{dy}{dx}, x\right)$$

Onde y ou dy/dx são conhecidos nos pontos do contorno

FÍSICA COMPUTACIONAL

Veja que se o sistema é finito, sempre se pode escolher um sistema de coordenadas tal que os contornos fiquem nas posições $x=0$ e $x=1$, sem perder a generalidade.



Ex: Os contornos reais estão em $x = x_1$ e $x = x_2$ para um problema dado



$$x' = \frac{x - x_1}{x_2 - x_1} \quad \text{Os contornos ficam então em } x' = 0 \text{ e } x' = 1$$

Para um problema em uma dimensão podemos ter um total de 4 possíveis condições de contorno:

- 1) $y(0) = y_0$ e $y(1) = y_1$;
- 2) $y(0) = y_0$ e $y'(1) = v_1$;
- 3) $y'(0) = v_0$ e $y(1) = y_1$;
- 4) $y'(0) = v_0$ e $y'(1) = v_1$.

FÍSICA COMPUTACIONAL

O problema com valores de contorno é mais complicado de resolver que um problema similar de valores iniciais com a mesma equação diferencial.

Por exemplo, queremos resolver:

$$\frac{d^2 y}{dx^2} = f\left(y, \frac{dy}{dx}, x\right) \quad \text{com condições iniciais } y(0)=y_0 \text{ e } y'(0)=v_0$$

Inicialmente transformamos a equação de 2ª ordem em um conjunto de 2 equações acopladas de primeira ordem, redefinindo $y_2=dy/dx$ como uma nova variável e integrando por alguns dos métodos descritos anteriormente.

PROBLEMA COM CONDIÇÕES DE CONTORNO

Somente conhecemos
 $y(0)$ ou $y'(0)$



Não é suficiente para iniciar os
algoritmos estudados anteriormente.

FÍSICA COMPUTACIONAL

Os problemas típicos de autovalores são ainda mais complexos, devido a que pelo menos um parâmetro a mais estará envolvido na equação, que é o autovalor. Por exemplo:

$$\frac{d^2 y}{dx^2} = f\left(y, \frac{dy}{dx}, x, \lambda\right)$$

Com λ podendo assumir somente certos valores, os quais originarão soluções adequadas segundo as condições de contorno dadas.



SOLUÇÃO DA EQUAÇÃO DE MOVIMENTO DE UMA BARRA VIBRANTE

$$\frac{d^2 y}{dx^2} = -k^2 y$$

$y \rightarrow$ deslocamento a partir da posição de equilíbrio
 $k^2 \rightarrow$ Autovalores do problema (somente certos valores permitidos)

Se ambos os extremos da barra estão fixos (por exemplo), as condições de contorno desse problema serão $y(0)=0$ e $y(1) = 0$.

MÉTODO DO TIRO (SHOOTING METHOD) – Cond. de Contorno

Inicialmente convertemos a equação diferencial de segunda ordem num conjunto de 2 equações diferenciais acopladas, definindo $y_1=y$ e $y_2=dy/dx$:

$$\frac{d^2 y}{dx^2} = f\left(y, \frac{dy}{dx}, x\right) \quad \longrightarrow \quad \begin{aligned} \frac{dy_1}{dx} &= y_2 \\ \frac{dy_2}{dx} &= f(y_1, y_2, x) \end{aligned}$$

Para ilustrar o método consideremos como condições de contorno $y(0)=y_0$ e $y(1)=y_1$. Outros tipos podem ser resolvidos da mesma forma.

A chave do método é assemelhar o problema ao de condições iniciais



Introduzir um parâmetro que vai ser ajustado até
que a condição de contorno seja satisfeita

FÍSICA COMPUTACIONAL

MÉTODO DO TIRO (SHOOTING METHOD)



Qual vai ser o parâmetro a ser introduzido?



Precisamente o valor inicial que estaria faltando para converter o problema em um de condições iniciais

No caso que estamos analisando conhecemos $y(0)$, então faremos uma escolha arbitrária para o termo da derivada de 1ª ordem em $x=0$. Ou seja, $y_2(0)=\alpha$, onde α será o parâmetro a ser ajustado.

MÉTODO DO TIRO (SHOOTING METHOD)

Com o α inicial, deve-se integrar a equação até $x = 1$ utilizando algum dos métodos discutidos anteriormente para o problema de valores iniciais.

Como o valor de α escolhido muito provavelmente será diferente do valor real de dy/dx em $x = 0$, então $y_\alpha(1)$ que resultará da integração com $y_2(0) = \alpha$ em $x=1$ deverá ser diferente de y_1 .

Como achar o α correto?

A proposta do método do tiro é utilizar um dos algoritmos propostos para a busca de raízes de equações para encontrar o α apropriado que satisfaça:

$$f(\alpha) = y_\alpha(1) - y_1 = 0$$

Dentro dos limites de uma tolerância predefinida.

O método de Newton-Raphson não é adequado pois se precisaria da derivada da função e não temos a expressão explícita dessa função

FÍSICA COMPUTACIONAL

MÉTODO DO TIRO (SHOOTING METHOD)

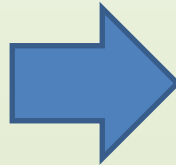
Vejamus um exemplo numérico real para ilustrar o método.

Suponhamos que queremos resolver a equação diferencial:

$$\frac{d^2y}{dx^2} = -\frac{\pi^2}{4} (y + 1)$$

Com as condições de contorno: $y(0) = 0$ e $y(1) = 1$

Definamos $y_1 = y$ e $y_2 = dy/dx$



$$\frac{dy_1}{dx} = y_2$$

$$\frac{dy_2}{dx} = -\frac{\pi^2}{4} (y + 1)$$

Agora assume-se que a equação tem um conjunto de condições iniciais dadas por $y_1(0) = 0$ e $y_2(0) = \alpha$.

Onde α é o parâmetro a ser ajustado até obter $f(\alpha) = y_\alpha(1) - y(1) = 0$.

FÍSICA COMPUTACIONAL

MÉTODO DO TIRO (SHOOTING METHOD)

Será utilizado o método da secante (precisa-se de 2 pontos iniciais) e o algoritmo de integração utilizado será o de Runge-Kutta (4ª ordem):

Lembrando que:

$$\alpha_{i+1} = \alpha_i - f(\alpha_i) \frac{\alpha_i - \alpha_{i-1}}{f(\alpha_i) - f(\alpha_{i-1})}$$

Método da secante

$$f_{\alpha} = y_{\alpha}(1) - y(1)$$

$$\alpha_{i+1} = \alpha_i - [y_{\alpha_i}(1) - y(1)] \frac{\alpha_i - \alpha_{i-1}}{[y_{\alpha_i}(1) - y(1)] - [y_{\alpha_{i-1}}(1) - y(1)]}$$

Runge-Kutta 4ª ordem

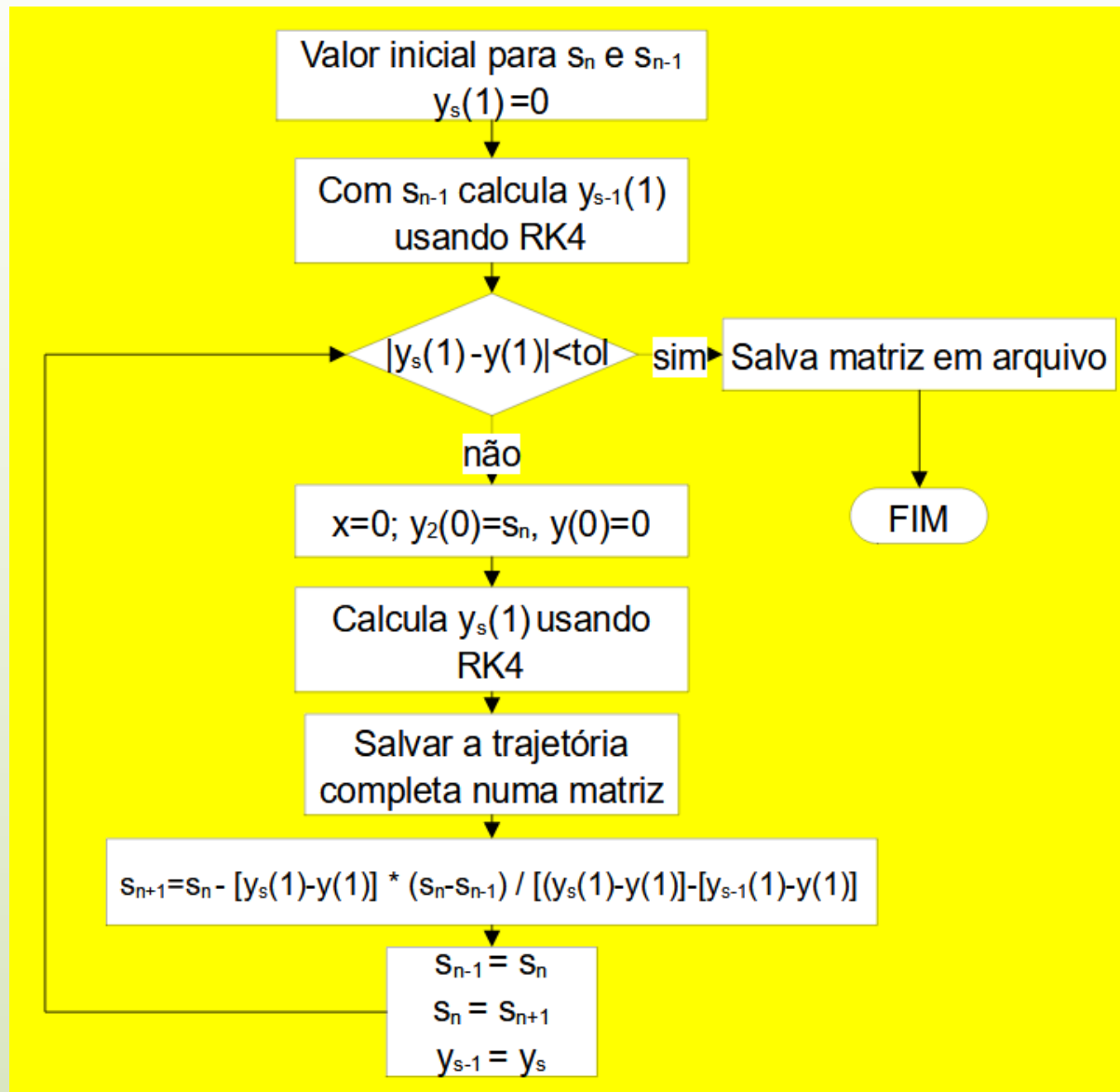
$$y_{n+1} = y_n + \frac{1}{6} (k_1 + 2k_2 + 2k_3 + k_4)$$

$$k_1 = hf(x_n, y_n)$$

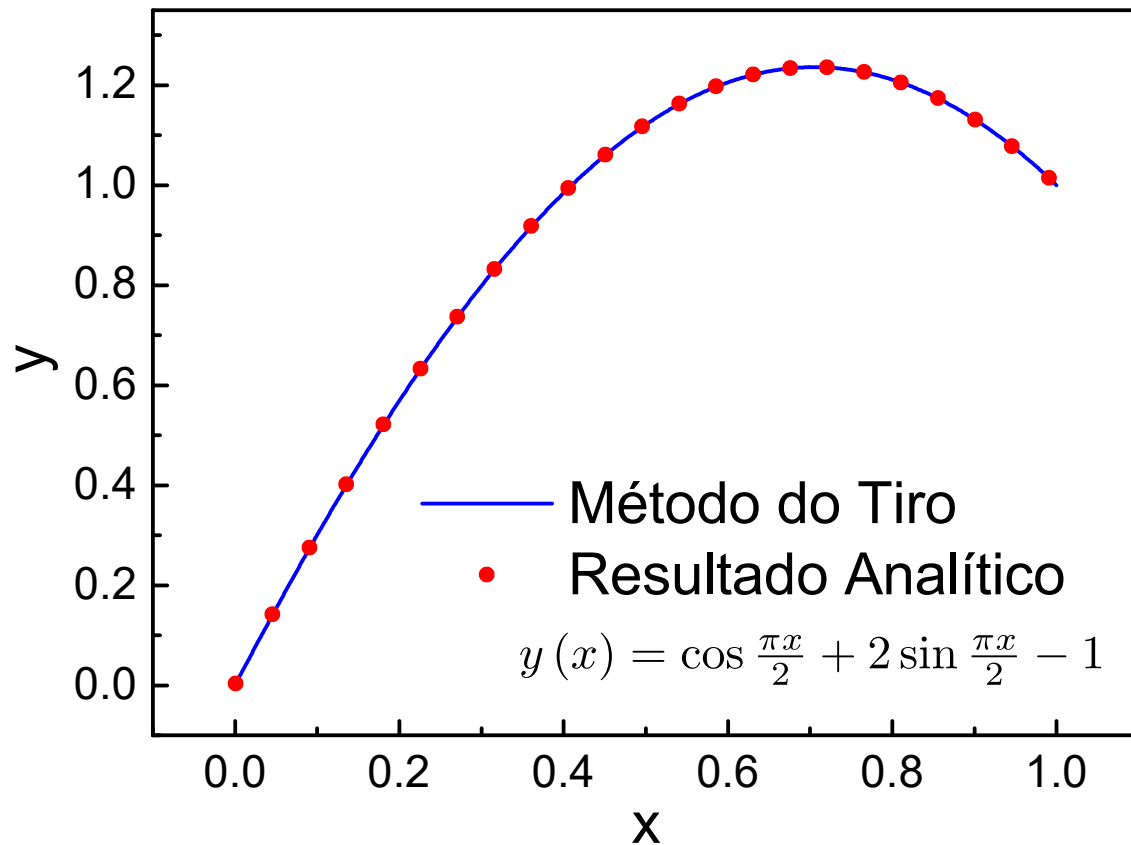
$$k_2 = hf\left(x_n + \frac{1}{2}h, y_n + \frac{1}{2}k_1\right)$$

$$k_3 = hf\left(x_n + \frac{1}{2}h, y_n + \frac{1}{2}k_2\right)$$

$$k_4 = hf(x_n + h, y_n + k_3)$$



FÍSICA COMPUTACIONAL



FÍSICA COMPUTACIONAL

PROBLEMA DE STURM-LIOUVILLE

Existe um tipo de equação diferencial em física que é comumente conhecido como problema de Sturm-Liouville:

$$[p(x)y'(x)]' + q(x)y(x) = s(x)$$

Termo da segunda derivada combinado com o termo da primeira derivada.

$p(x)$, $q(x)$ e $s(x) \rightarrow$ são coeficientes funções de x

Ex

$$\frac{d}{dx} \left[(1 - x^2) \frac{d}{dx} P_n(x) \right] + n(n + 1) P_n(x) = 0 \quad \text{Eq. Legendre}$$

$$\frac{d}{dx} \left[x \frac{dy(x)}{dx} \right] + \left(x - \frac{\nu^2}{x} \right) y(x) = 0 \quad \text{Eq. Bessel}$$

FÍSICA COMPUTACIONAL

PROBLEMA DE STURM-LIOUVILLE

Vamos a deduzir um algoritmo que permita integrar o problema

Lembrando:

$$\Delta_1 = \frac{y_{i+1} - y_{i-1}}{2h} = y'_i + \frac{h^2 y_i^{(3)}}{6} + o(h^4)$$

fórmula 3 pontos

Multiplicando por p'_i

$$\Delta_2 = \frac{y_{i+1} - 2y_i + y_{i-1}}{h^2} = y''_i + \frac{h^2 y_i^{(4)}}{12} + o(h^4)$$

2ª derivada

Multiplicando por p_i

Somando:

$$p_i' \Delta_1 + p_i \Delta_2 = \overbrace{p_i' y_i' + p_i y_i''}^{(p_i y_i')'} + \frac{h^2}{12} (p_i y_i^{(4)} + 2p_i' y_i^{(3)}) + o(h^4)$$

Desprezar

$$p_i' \Delta_1 + p_i \Delta_2 = (p_i y_i')' + o(h^2)$$

$$p_i' \Delta_1 + p_i \Delta_2 = (p_i y_i')' + o(h^2)$$

PROBLEMA DE STURM-LIOUVILLE

Substituindo Δ_1 , Δ_2 e fazendo $(p_i y_i')' = s_i - q_i y_i$

$$p_i' \left(\frac{y_{i+1} - y_{i-1}}{2h} \right) + p_i \left(\frac{y_{i+1} - 2y_i + y_{i-1}}{h^2} \right) + o(h^2) = s_i - q_i y_i$$



$$p_i \left(\frac{y_{i+1} - 2y_i + y_{i-1}}{h^2} \right) = s_i - q_i y_i - p_i' \left(\frac{y_{i+1} - y_{i-1}}{2h} \right) + o(h^2)$$



$$p_i (y_{i+1} - 2y_i + y_{i-1}) = h^2 s_i - h^2 q_i y_i - h^2 p_i' \left(\frac{y_{i+1} - y_{i-1}}{2h} \right) + o(h^4)$$



$$p_i y_{i+1} - 2p_i y_i + p_i y_{i-1} = h^2 s_i - h^2 q_i y_i - \frac{1}{2} h p_i' y_{i+1} + \frac{1}{2} h p_i' y_{i-1} + o(h^4)$$

FÍSICA COMPUTACIONAL

PROBLEMA DE STURM-LIOUVILLE

$$p_i y_{i+1} - 2p_i y_i + p_i y_{i-1} = h^2 s_i - h^2 q_i y_i - \frac{1}{2} h p_i' y_{i+1} + \frac{1}{2} h p_i' y_{i-1} + o(h^4) \quad \times 2$$

$$2p_i y_{i+1} - 4p_i y_i + 2p_i y_{i-1} = 2h^2 s_i - 2h^2 q_i y_i - h p_i' y_{i+1} + h p_i' y_{i-1} + o(h^4)$$

$$(2p_i + h p_i') y_{i+1} + (2p_i - h p_i') y_{i-1} = (4p_i - 2h^2 q_i) y_i + 2h^2 s_i + o(h^4)$$

$$c_{i-1} = 2p_i - h p_i'$$

$$c_i = 4p_i + 2h^2 q_i$$

$$c_{i+1} = 2p_i + h p_i'$$

$$d_i = 2h^2 s_i$$



$$c_{i+1} y_{i+1} + c_{i-1} y_{i-1} = c_i y_i + d_i + o(h^4)$$

FÍSICA COMPUTACIONAL

$$[p(x)y'(x)]' + q(x)y(x) = s(x)$$

PROBLEMA DE STURM-LIOUVILLE

Ilustremos com um exemplo: Eq. de Legendre:

$$\frac{d}{dx} \left[(1 - x^2) \frac{dy}{dx} \right] + l(l + 1)y = 0$$

$$p(x) = 1 - x^2$$

$$q(x) = l(l + 1)$$

$$p'(x) = -2x$$

$$s(x) = 0$$

cujas soluções são os polinômios de Legendre $y = P_l(x)$

Assumamos que não conhecemos o valor de l , mas sim os dois primeiros pontos de $P_l(x)$, então podemos tratar o problema como um problema de autovalores.

Condições de contorno

$$y(0) = 0 \quad y(1) = 1$$

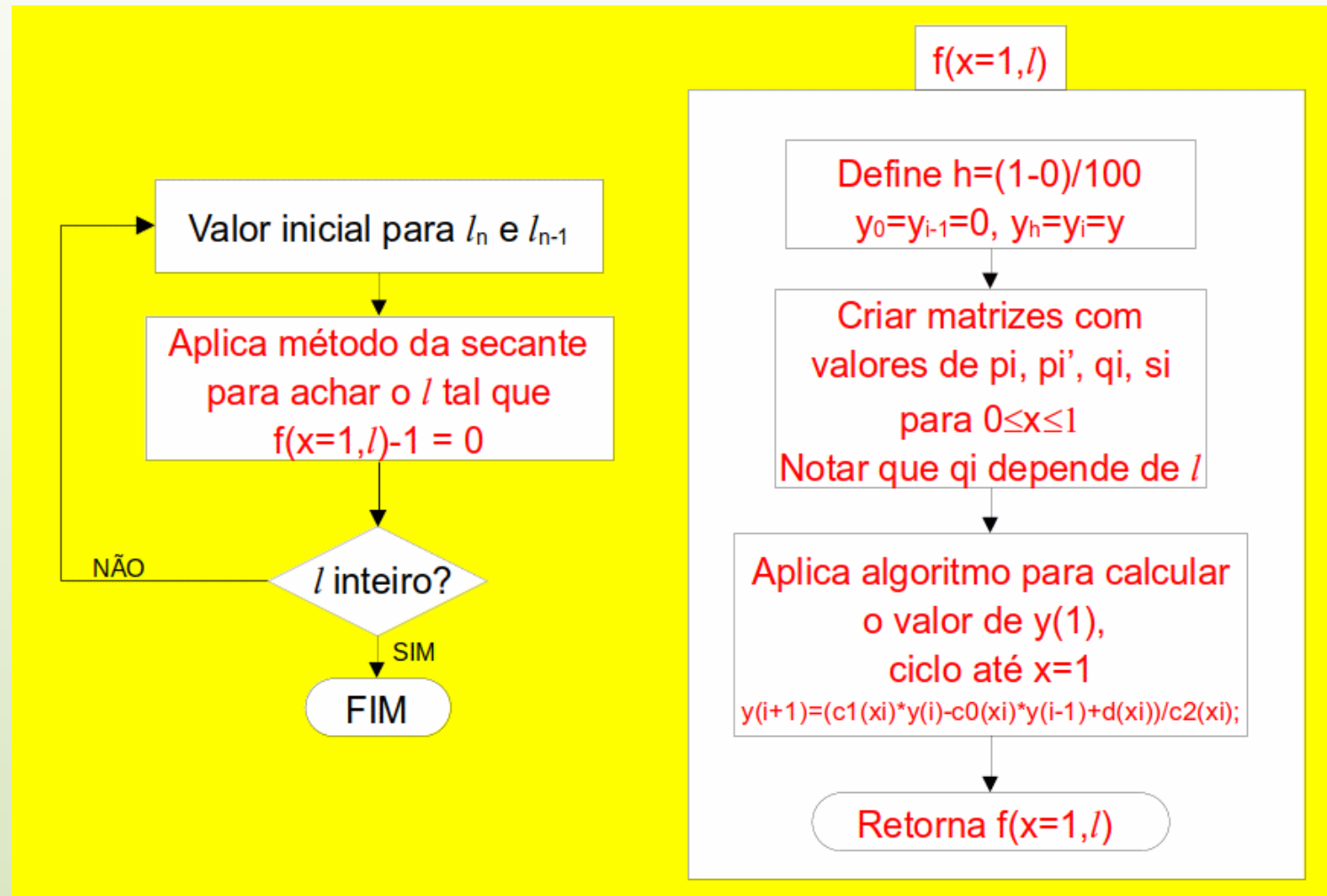
$$y(0,01) = 0,015$$



$$y_{i+1} = \frac{c_i y_i - c_{i-1} y_{i-1} + d_i}{c_{i+1}}$$

Resolver o autovalor $l = ?$

PROBLEMA DE STURM-LIOUVILLE



Veja que o procedimento adotado no exemplo anterior é totalmente geral



MÉTODO DO TIRO (SHOOTING METHOD) PARA O PROBLEMA DE AUTOVALORES



Para outras equações que não sejam necessariamente do tipo do problema de Sturm-Liouville podem ser seguidos exatamente os mesmos passos.

FÍSICA COMPUTACIONAL

ALGORITMO DE STURM-LIOUVILLE – MELHORA NA PRECISÃO

$$[p(x)y'(x)]' + q(x)y(x) = s(x) \quad \Rightarrow \quad p'y' + py'' + qy = s$$

Diferenciando duas vezes:

$$p''y' + p'y'' + p'y'' + py^{(3)} + q'y + qy' = s' \quad \mathbf{1}$$


$$p^{(3)}y' + p''y'' + p''y'' + p'y^{(3)} + p''y'' + p'y^{(3)} + p'y^{(3)} + py^{(4)} + q''y + q'y' + q'y' + qy'' = s''$$


Agrupando convenientemente:

$$py^{(4)} + 2p'y^{(3)} = s'' - 3p''y'' - p^{(3)}y' - p'y^{(3)} - q''y - 2q'y' - qy'' \quad \mathbf{2}$$

FÍSICA COMPUTACIONAL

ALGORITMO DE STURM-LIOUVILLE – MELHORA NA PRECISÃO

De  1 $y^{(3)} = \frac{1}{p}(s' - p''y' - 2p'y'' - q'y - qy')$

Substituindo no membro direito da equação  2

$$py^{(4)} + 2p'y^{(3)} = s'' - 3p''y'' - p^{(3)}y' - p'y^{(3)} - q''y - 2q'y' - qy''$$

e combinando com:

$$p_i'\Delta_1 + p_i\Delta_2 = p_i'y_i' + p_iy_i'' + \frac{h^2}{12}(py_i^{(4)} + 2p_i'y_i^{(3)}) + o(h^4)$$

Lembrando que:

$$\Delta_1 = \frac{y_{i+1} - y_{i-1}}{2h}$$

$$\Delta_2 = \frac{y_{i+1} - 2y_i + y_{i-1}}{h^2}$$

FÍSICA COMPUTACIONAL

ALGORITMO DE STURM-LIOUVILLE – MELHORA NA PRECISÃO

Se obtêm:

$$c_{i+1}y_{i+1} + c_{i-1}y_{i-1} = c_i y_i + d_i + o(h^6)$$

Com c_{i+1} , c_{i-1} , c_i e d_i :

$$c_{i+1} = 24p_i + 12hp_i' + 2h^2q_i + 6h^2p_i'' - 4h^2 \frac{(p_i')^2}{p_i} + h^3p_i^{(3)} + 2h^3q_i' - h^3p_i' \frac{q_i}{p_i} - h^3p_i' \frac{p_i''}{p_i}$$

$$c_{i-1} = 24p_i - 12hp_i' + 2h^2q_i + 6h^2p_i'' - 4h^2 \frac{(p_i')^2}{p_i} - h^3p_i^{(3)} - 2h^3q_i' + h^3p_i' \frac{q_i}{p_i} + h^3p_i' \frac{p_i''}{p_i}$$

$$c_i = 48p_i - 20h^2q_i - 8h^2 \frac{(p_i')^2}{p_i} + 12h^2p_i'' + 2h^4p_i' \frac{q_i'}{p_i} - 2h^4q_i''$$

$$d_i = 24h^2s_i + 2h^4s_i'' - 2h^4p_i' \frac{s_i'}{p_i}$$

ALGORITMO DE STURM-LIOUVILLE – MELHORA NA PRECISÃO

O algoritmo obtido pode ser aplicado facilmente se $p(x)$, $q(x)$ e $s(x)$ são conhecidos explicitamente.

As derivadas de p , q , s pode que não sejam obtidas facilmente de forma analítica. Nesse caso se podem resolver numericamente, sempre utilizando fórmulas apropriadas para manter a alta precisão do algoritmo.

Para o caso especial em que $p(x) = 1$, os coeficientes podem ser reduzidos a uma forma bem mais simples.

ALGORITMO DE STURM-LIOUVILLE – MELHORA NA PRECISÃO

$$p(x)=1$$

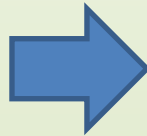
Sem sacrificar a precisão do algoritmo, pode ser aplicada a fórmula de 3 pontos para a primeira e segunda derivada de q e s , obtendo-se assim:

$$c_{i+1} = 24 + 2h^2 q_i + 2h^3 q_i'$$

$$c_{i-1} = 24 + 2h^2 q_i - 2h^3 q_i'$$

$$c_i = 48 - 20h^2 q_i - 2h^4 q_i''$$

$$d_i = 24h^2 s_i + 2h^4 s_i''$$



$$c_{i+1} = 1 + \frac{h^2}{24} (q_{i+1} + 2q_i - q_{i-1})$$

$$c_{i-1} = 1 + \frac{h^2}{24} (q_{i-1} + 2q_i - q_{i+1})$$

$$c_i = 2 - \frac{h^2}{12} (q_{i+1} + 8q_i + q_{i-1})$$

$$d_i = \frac{h^2}{12} (s_{i+1} + 10s_i + s_{i-1})$$

FÍSICA COMPUTACIONAL

ALGORITMO DE NUMEROV (Eq. com $p(x) = 1$)

$$[\cancel{p(x)}y'(x)]' + q(x)y(x) = s(x) \quad \Rightarrow \quad y'' = s - qy$$



Derivando 2 vezes em ambos os termos:

$$y^{(4)} = \frac{d^2}{dx^2}(s - qy)$$

Aplicando a fórmula de 3 pontos para a segunda derivada no membro direito da equação:

$$y_i^{(4)} = \frac{(s_{i+1} - q_{i+1}y_{i+1}) - 2(s_i - q_i y_i) + (s_{i-1} - q_{i-1}y_{i-1})}{h^2}$$



FÍSICA COMPUTACIONAL

ALGORITMO DE NUMEROV (Eq. com $p(x) = 1$)

Por outro lado, aplicando série de Taylor a uma função:

$$f(x) = f(x_0) + (x - x_0)f'(x_0) + \frac{(x - x_0)^2}{2}f''(x_0) + \frac{(x - x_0)^3}{6}f'''(x_0) + \frac{(x - x_0)^4}{24}f^{(4)}(x_0) + \dots$$

$$f(x_0 \pm h) = f(x_0) \pm hf'(x_0) + \frac{h^2}{2}f''(x_0) \pm \frac{h^3}{6}f'''(x_0) + \frac{h^4}{24}f^{(4)}(x_0) \pm \frac{h^5}{120}f^{(5)}(x_0) + o(h^6)$$

$$f(x_0 + h) + f(x_0 - h) = 2f(x_0) + h^2f''(x_0) + \frac{h^4}{12}f^{(4)}(x_0) + o(h^6) \quad /h^2$$

$$\frac{f(x_0 + h) - 2f(x_0) + f(x_0 - h)}{h^2} + o(h^4) = f''(x_0) + \frac{h^2}{12}f^{(4)}(x_0)$$


ou

$$y_i'' + \frac{h^2 y_i^{(4)}}{12} = \frac{y_{i+1} - 2y_i + y_{i-1}}{h^2} + o(h^4)$$

FÍSICA COMPUTACIONAL

ALGORITMO DE NUMEROV (Eq. com $p(x) = 1$)

$$y_i'' + \frac{h^2 y_i^{(4)}}{12} = \frac{y_{i+1} - 2y_i + y_{i-1}}{h^2} + o(h^4)$$

 $y'' = s - qy$

$$y_i^{(4)} = \frac{12}{h^2} \left[\left(\frac{y_{i+1} - 2y_i + y_{i-1}}{h^2} - (s_i - q_i y_i) \right) + o(h^4) \right] \quad \text{B}$$

Igualando  e  temos que:

$$\frac{12}{\cancel{h^2}} \left[\left(\frac{y_{i+1} - 2y_i + y_{i-1}}{h^2} - (s_i - q_i y_i) \right) + o(h^4) \right] = \frac{(s_{i+1} - q_{i+1} y_{i+1}) - 2(s_i - q_i y_i) + (s_{i-1} - q_{i-1} y_{i-1})}{\cancel{h^2}}$$

FÍSICA COMPUTACIONAL

ALGORITMO DE NUMEROV (Eq. com $p(x) = 1$)

Se obtêm:

$$c_{i+1}y_{i+1} + c_{i-1}y_{i-1} = c_i y_i + d_i + o(h^6)$$

NUMEROV

Com c_{i+1} , c_{i-1} , c_i e d_i :

$$c_{i+1} = 1 + \frac{h^2}{12} q_{i+1} \longrightarrow x_0 + 2h$$

$$c_{i-1} = 1 + \frac{h^2}{12} q_{i-1} \longrightarrow x_0$$

$$c_i = 2 - \frac{5h^2}{6} q_i \longrightarrow x_0 + h$$

$$d_i = \frac{h^2}{12} (s_{i+1} + 10s_i + s_{i-1})$$

FÍSICA COMPUTACIONAL

EQUAÇÃO DE SCHRÖDINGER EM UMA DIMENSÃO

Serão aplicados os métodos que estudamos para resolver o problema de autovalores, definido através da equação de Schrödinger em uma dimensão

$$-\frac{\hbar^2}{2m} \frac{d^2 \phi(x)}{dx^2} + V(x) \phi(x) = \epsilon \phi(x)$$

m – massa da partícula

ϵ – níveis de energia

\hbar – cte de Planck/ 2π

$V(x)$ – potencial externo

re-escrevendo:
$$\phi(x)'' + \frac{2m}{\hbar^2} (\epsilon - V(x)) \phi(x) = 0$$

$$[p(x)y'(x)]' + q(x)y(x) = s(x)$$

Sturm-Liouville



$$p(x) = 1$$

$$q(x) = \frac{2m}{\hbar^2} (\epsilon - V(x))$$

$$s(x) = 0$$

FÍSICA COMPUTACIONAL

EQUAÇÃO DE SCHRÖDINGER EM UMA DIMENSÃO

A partícula está confinada pelo poço de potencial $V(x)$ de forma que:

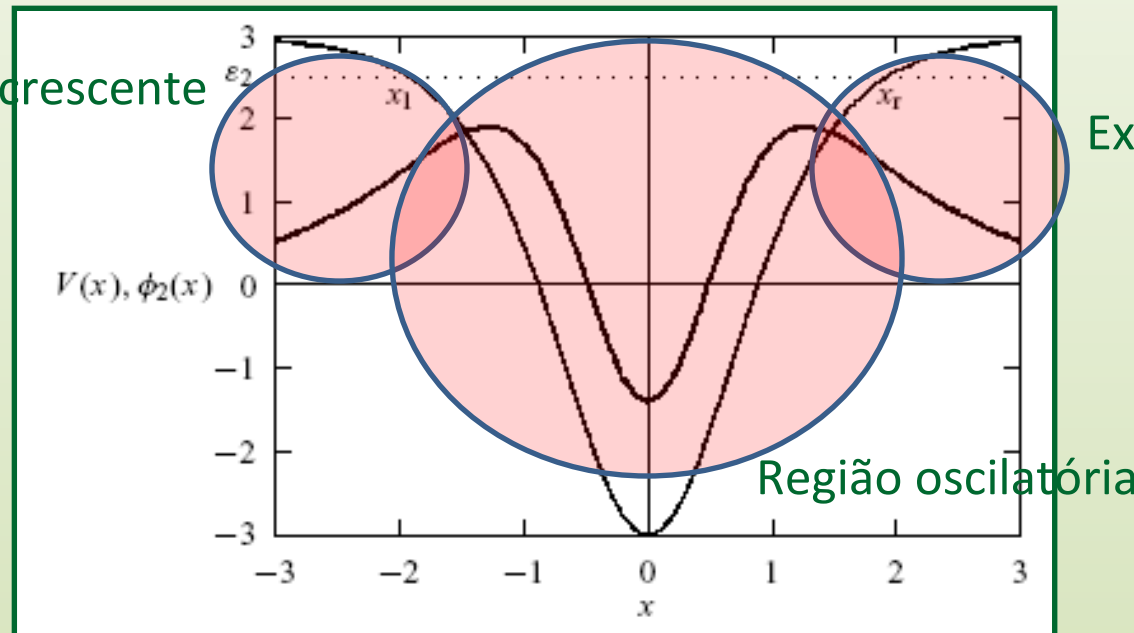
$$\phi(x) \rightarrow 0 \text{ quando } |x| \rightarrow \infty$$

Para resolver o problema dos autovalores se poderia integrar a equação usando o algoritmo de Numerov de esquerda a direita ou de direita a esquerda.

Exp. crescente

Exp. decrescente

→
Integração



EQUAÇÃO DE SCHRÖDINGER EM UMA DIMENSÃO

O erro acumulado poderá ser significativo quando passemos da região oscilatória para a região que decresce exponencialmente.

A solução exponencial crescente é também uma possível solução da equação, podendo entrar na integração numérica para destruir a precisão do algoritmo.

A regra é integrar as soluções a partir de ambos os lados e fazer que estas coincidam na região do poço.

Geralmente o ponto de encontro de ambas as soluções se escolhe como um dos pontos de retorno, onde $\varepsilon = V(x)$, como x_l (denominado em diante $\rightarrow x_e$) e x_r (denominado em diante $\rightarrow x_d$) na figura anterior.

FÍSICA COMPUTACIONAL

EQUAÇÃO DE SCHRÖDINGER EM UMA DIMENSÃO

valor inicial para $\epsilon \rightarrow$ ajustar até que a solução integrada a partir da direita (ϕ_d) e a partir da esquerda (ϕ_e), satisfaçam as condições de continuidade em um dos pontos de retorno.

Se escolhermos o ponto x_d , por exemplo:

$$\phi_e(x_d) = \phi_d(x_d)$$

$$\phi'_e(x_d) = \phi'_d(x_d) \quad \text{Utilizando a fórmula de 3 pontos para substituir as derivadas:}$$

$$f(\epsilon) = \frac{\phi_e(x_d + h) - \phi_e(x_d - h)}{2h} - \frac{\phi_d(x_d + h) - \phi_d(x_d - h)}{2h} = 0$$

O valor correto do autovalor ϵ , pode ser encontrado aplicando um dos algoritmos para busca de raízes à equação anterior e comprovando depois:

$$\phi_e(x_d) - \phi_d(x_d) < \textit{tolerancia}$$

Normalizar ambas funções pelo máximo da função que integra a região do poço

FÍSICA COMPUTACIONAL

EQUAÇÃO DE SCHRÖDINGER EM UMA DIMENSÃO

Passos para o cálculo das energias (autovalores)

- Providenciar uma escolha razoável de ε_n para iniciar o algoritmo
- Achar x_d (ou x_e).
- Integrar a equação para ϕ_e até x_d+h e para ϕ_d até x_d-h . Pode-se escolher zero como o primeiro ponto e uma quantidade bem pequena como segundo ponto para iniciar o algoritmo (**Essa quantidade pode ser negativa dependendo do valor do autovalor.**)
- Avaliar $f(\varepsilon)$.
$$f(\varepsilon) = \frac{\phi_e(x_d + h) - \phi_e(x_d - h)}{2h} - \frac{\phi_d(x_d + h) - \phi_d(x_d - h)}{2h}$$
- Aplicar um método de busca de raízes para obter ε_0 que cumpra $f(\varepsilon_n) = 0$
- Achado o ε_n correto, normalizar as funções pelo máximo da função que integra a região do poço
- Repetir os passos acima para a busca do próximo autovalor. Pode-se iniciar a busca com um valor ligeiramente superior que o último autovalor encontrado. Deve-se verificar que nenhum auto-estado seja pulado, para isso pode-se contar os nodos ($\phi(x) = 0$). O estado n deve ter n nodos.

FÍSICA COMPUTACIONAL

PROJETO 3 - EQUAÇÃO DE SCHRÖDINGER EM UMA DIMENSÃO

Integrar com o algoritmo de Numerov, e encontrar os 3 primeiros níveis de energia permitidos, utilizando:

$$V(x) = \frac{6\hbar^2}{m} \left(\frac{1}{2} - \frac{1}{\cosh^2(x)} \right)$$

Faça os gráficos de $\phi_n(x)$ vs x para $n = 0, 1$ e 2 e $x \in [-10, 10]$.

Faça os gráficos de ε_n vs x para $n = 0, 1$ e 2 e coloque junto o gráfico de $V(x)$ vs x para $x \in [-10, 10]$.

Para facilitar o cálculo, considere $\hbar = m = 1$

FÍSICA COMPUTACIONAL

PROJETO 3 - EQUAÇÃO DE SCHRÖDINGER EM UMA DIMENSÃO

Exemplos de gráficos esperados:

